

УДК 539.3

## ДИФРАКЦИЯ ВОЛН РЭЛЕЯ–ЛЭМБА НА ГРАНИЦЕ РАЗДЕЛА ДВУХ СОСТЫКОВАННЫХ УПРУГИХ ПОЛУПОЛОС РАЗНОЙ ШИРИНЫ

Н. С. ГОРОДЕЦКАЯ

*Институт гидромеханики НАН Украины, Киев*

*Получено 20.06.2000 ◊ Пересмотрено 5.10.2000*

На основе метода суперпозиции проведен расчет дифракции волн Рэлея–Лэмба на вертикальной границе волновода, образованного при жестком контакте двух полуполос разной ширины и с различными упругими свойствами. Показано, что уменьшение ширины полуполосы, в которой распространяется падающая волна, приводит к качественным изменениям в перераспределении энергии падающей волны между отраженными и прошедшими полями. Эти изменения обусловлены значительными отличиями в степени возбуждения неоднородных волн в обеих полуполосах при изменении отношения их ширины.

На базі методу суперпозиції проведений розрахунок дифракції хвиль Релея–Лемба на вертикальній границі хвилепровода, утвореного при жорсткому контакті двох півсмуг різної ширини і з різними пружними властивостями. Показано, що зменшення ширини півсмуги, в якій розповсюджується падаюча хвиля, приводить до якісних змін в перерозподілі енергії падаючої хвилі між відбитими хвилями та хвилями, що пройшли в другу напівсмугу. Ці зміни зумовлені значною різницею в ефективності збудження неоднорідних хвиль в обох півсмугах при зміні відношення їхніх ширин.

On basis of method of superposition a diffraction of the Rayleigh–Lamb wave on a vertical boundary of waveguide formed by a strong contact of two halfstrips is calculated for case of their different widths and different elastic properties. It is shown that decrease of width of a halfstrip, in which the incident wave propagates, results in a qualitative change in energy redistribution of the incident wave between the reflected and transmitted fields. These changes are caused by significant distinctions in a degree of excitation of evanescent waves in both halfstrips at change of their width ratio.

### ВВЕДЕНИЕ

Решение многих прикладных задач геофизики, сейсмологии, акустоэлектроники, неразрушающих методов контроля связано с анализом распространения и дифракции упругих волн в нерегулярных волноводах. Нерегулярностью может служить включение в волноводе, ступенька или смена сечения волновода, смена свойств материала и т.д. Неоднородности различных типов оказывают большое влияние на распространение волн в области относительно высоких частот, когда характерные размеры неоднородности соизмеримы с длиной волны.

При изучении распространения нормальных волн в нерегулярных упругих волноводах в области относительно высоких частот были обнаружены явления, которые невозможно даже качественно объяснить в рамках одномерных приближений. Одним из них является захват энергии. Впервые захват энергии наблюдался экспериментально при изучении колебаний пьезокерамической пластины, часть поверхности которой покрыта электродами [1].

Особенность динамического деформирования пьезокерамической пластины, определенная как захват энергии, проявлялась в том, что на определенных частотах возбуждения электродированного участка пластины область интенсивных колебаний практически совпадала с областью, покрытой электродами. При этом колебания соседних неэлектродированных участков имели существенно более низкую амплитуду. Поскольку в пьезокерамической пластине механические свойства в областях под электродами и без электродов отличаются, последующий анализ захвата энергии основывался на изучении процесса отражения–прохождения волн на границе раздела состыкованных полуполос с различными механическими свойствами в пренебрежении эффектом электромеханической связи.

Аналізу частотних залежностей трансформації енергії першої нормальної моди в отраженні і прошедшие волны при дифракції на вертикальній границі в составном волноводе, образованном жестким контактом полуполос одинаковой ширины, но с разными механическими характеристиками, посвящены работы [2–5]. В них

установлено, что в области существования только одной распространяющейся волны в каждой части волновода наблюдается резкое увеличение эффективности прохождения в определенном частотном диапазоне. В этом частотном диапазоне перераспределение энергии падающей волны между отраженным и прошедшим полями можно объяснить только значительным возбуждением неоднородных волн. Неоднородные волны появляются парами и образуют стоячую волну, которая не переносит энергии, однако их значительное возбуждение перестраивает картину волнового поля.

При анализе дифракции первой нормальной волны на вертикальной границе в составном волноводе рассматривались среды с различными механическими характеристиками, что приводит к различиям в дисперсионных характеристиках распространяющихся волн. За счет этих различий появляется рассогласование формы смещений на границе раздела между распространяющимися волнами в отраженном и прошедшем полях. Это является одной из причин значительного возбуждения неоднородных волн [4].

В данной работе изучаются частотные зависимости величины потока энергии в отраженном и прошедшем полях при дифракции первой нормальной моды на вертикальной границе в составном волноводе, образованном жестким контактом полуполос с разными механическими свойствами и различной толщиной. Таким образом, кроме физического рассогласования волновых полей за счет различия механических характеристик, появляется геометрическое рассогласование за счет различия в ширине полуполос.

Для относительно низкочастотных процессов достоверные количественные оценки энергетических характеристик волнового поля можно получить в рамках упрощенных моделей стержней и пластин. Принято считать, что одномерное приближение справедливо, если поперечный размер волновода меньше трети длины волны. При этом локальные особенности не оказывают существенного влияния на процессы преломления – отражения волн.

С повышением частоты усложняется пространственная структура бегущих волн. В формировании прошедшего и отраженного полей существенную роль начинают играть локализованные у поверхности раздела неоднородные волны. Для достоверного описания дифракционного вблизи поверхности контакта волнового поля необходимо учитывать характер особенности в окрестностях угловых точек. В дальнем поле влияние неоднородных волн, локализованных у поверхности раз-

дела, незначительно. Поэтому анализ энергетических характеристик процесса преломления – отражения может быть проведен без учета локальных особенностей по напряжениям в угловых точках.

Традиционно развиваются два подхода к решению задачи дифракции на вертикальной границе в составном волноводе – на основе метода однородных решений и метода суперпозиции. Известно [6], что в случае наличия особенности по напряжениям при использовании метода однородных решений ряды по напряжениям расходятся. Поэтому в этом случае при простой редукции рядов не удастся получить устойчивое решение граничной задачи. В рамках метода однородных решений с использованием условия обобщенной ортогональности предложена методика, позволяющая учитывать локальную особенность поля напряжений в угловой точке [5]. При этом рассматривалась дифракция нормальной волны на вертикальной поверхности в волноводе, составленном из полуполос одинаковой и разной ширины. Однако в упоминаемой работе не был проведен анализ физических особенностей процесса преломления – отражения волн на границе раздела.

Метод суперпозиции для решения граничных задач для волновода, образованного из полуполос одинаковой ширины, описан в работе [4]. Этот метод позволяет учесть локальную особенность по напряжениям в угловой точке через асимптотику неизвестных коэффициентов в рядах и интегралах, представляющих векторы смещений в волноводе. При этом напряжения и смещения, найденные в рамках метода суперпозиции, могут быть представлены как разложение по нормальным волнам. Важно отметить, что при переходе от представления вектора смещений в рамках метода суперпозиции к представлению через нормальные волны амплитуды возбуждения распространяющихся волн определяются значениями первых неизвестных в соответствующих бесконечных системах, поэтому анализ энергетических характеристик может быть проведен при использовании метода простой редукции.

В настоящей работе метод суперпозиции применяется для решения граничной задачи о жестком контакте двух полуполос разной ширины и с разными механическими характеристиками. При этом акцент сделан на изучение энергетических особенностей процесса отражения – прохождения волн на вертикальной границе при изменении ширины одной из полуполос. Показано, что уменьшение ширины полуполосы, в которой распространяется падающая волна, приводит к качественным

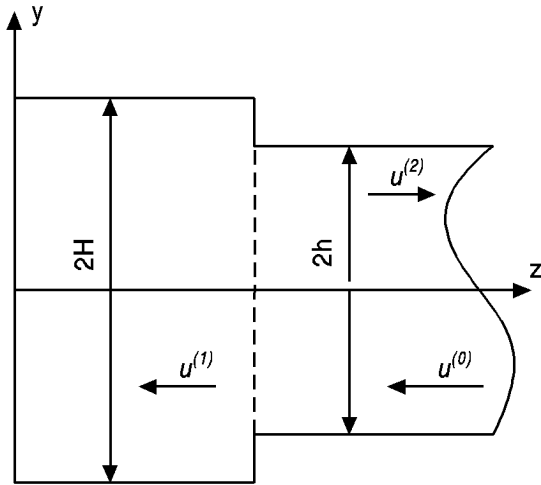


Рис. 1. Геометрия задачи

изменениям перераспределения энергии падающей волны между отраженным и прошедшим полями. Это явление обусловлено значительными различиями в степени возбуждения неоднородных волн в обеих полуполосах при изменении ширины одной из них.

### 1. ПОСТАНОВКА ЗАДАЧИ

Рассматривается стационарное волновое поле в упругом волноводе, образованном жестким соединением двух упругих полуполос, имеющих ширины  $H$  и  $h$  и разные механические характеристики (рис. 1).

Свойства изотропных сред характеризуются модулями сдвига  $\mu_1, \mu_2$ , коэффициентами Пуассона  $\nu_1, \nu_2$  и плотностями  $\rho_1, \rho_2$  (индекс 1 – для левой полуполосы, а 2 – для правой). Поверхности  $Y = \pm h, Y = \pm H$  свободны от напряжений. Для перехода к безразмерным величинам нормируем координаты к  $H$ :  $y = Y/H, z = Z/H$ .

Волновое поле возбуждается первой нормальной волной, приходящей из бесконечности во второй полуполосе ( $+\infty$ ). При записи выражений для волновых полей падающей волне соответствует индекс 0, а индексы 1 и 2 – прошедшим и отраженным волнам соответственно.

В зоне контакта условия сопряжения записыва-

ются в виде

$$\begin{aligned} \sigma_{zz}^{(1)}(y, 0) &= \begin{cases} \sigma_{zz}^{(2)}(y, 0) + \sigma_{zz}^{(0)}(y, 0), & |y| \leq \alpha, \\ 0, & |y| \geq \alpha, \end{cases} \\ \tau_{zy}^{(1)}(y, 0) &= \begin{cases} \tau_{zy}^{(2)}(y, 0) + \tau_{zy}^{(0)}(y, 0), & |y| \leq \alpha, \\ 0, & |y| \geq \alpha, \end{cases} \quad (1) \\ u_y^{(1)} &= u_y^{(2)} + u_y^{(0)}, \\ u_z^{(1)} &= u_z^{(2)} + u_z^{(0)}, \\ |y| &\leq \alpha, \quad \alpha = h/H. \end{aligned}$$

Здесь и далее временной множитель  $e^{-i\omega t}$  опускается ( $\omega$  – круговая частота);  $\alpha = h/H$ .

Необходимо найти векторы смещений в отраженном и прошедшем полях, удовлетворяющие заданным граничным условиям и однородной системе уравнений Ламе. Дополнительно к условиям сопряжения (1) должны выполняться условия излучения на бесконечности, заключающиеся в том, что каждая распространяющаяся нормальная волна в прошедшем и отраженном поле уносит энергию от границы раздела на бесконечность.

### 2. МЕТОД РЕШЕНИЯ

В данной статье применялся метод суперпозиции [7], который позволяет учесть особенности по напряжениям в угловых точках. В рамках этого метода построим решение граничной задачи для симметричных колебаний составного волновода. Следуя общей схеме метода суперпозиции [7], компоненты вектора смещений в прошедшем поле ( $z < 0$ ) представим в виде

$$\begin{aligned} u_y^{(1)} &= -\sum_{k=1}^{\infty} \left( C_k^{(1)} \beta_k e^{q_1 z} - D_k^{(1)} q_2 e^{q_2 z} \right) \sin \beta_k y + \\ &+ \frac{1}{2\pi} \int_{-\infty}^{\infty} x^{(1)}(\tau) U_y^{(1)}(\tau, y) e^{-i\tau z} d\tau, \\ u_z^{(1)} &= -iC_0^{(1)} \Omega_1^{(1)} e^{i\Omega_1^{(1)} z} - \\ &- \sum_{k=1}^{\infty} \left( -C_k^{(1)} q_1 e^{q_1 z} + D_k^{(1)} \beta_k e^{q_2 z} \right) \cos \beta_k y - \\ &- \frac{i}{2\pi} \int_{-\infty}^{\infty} x^{(1)}(\tau) U_z^{(1)}(\tau, y) e^{-i\tau z} d\tau \end{aligned} \quad (2)$$

с неизвестными постоянными  $C_0^{(1)}$ ,  $C_k^{(1)}$ ,  $D_k^{(1)}$  ( $k=1, 2, \dots$ ) и функцией  $x^{(1)}(\tau)$ . В соотношениях (2)  $\Omega_1^{(1)} = \omega H / c^{(1)}$ ;  $c^{(l)}$  – скорость продольной волны в первой полуполосе. Кроме того, здесь положено

$$U_y^{(1)}(\tau, y) = p_1^2 \left( \tau^2 \frac{\text{sh } p_2 y}{\text{sh } p_2} - \frac{(\tau^2 + p_2^2)}{2} \frac{\text{sh } p_1 y}{\text{sh } p_1} \right), \quad (3)$$

$$U_z^{(1)}(\tau, y) = \tau p_1 \left( p_1 p_2 \frac{\text{ch } p_2 y}{\text{ch } p_2} - \frac{(\tau^2 + p_2^2)}{2} \frac{\text{ch } p_1 y}{\text{ch } p_1} \right),$$

где

$$p_j = \begin{cases} \sqrt{\tau^2 - \Omega_j^2}, & |\tau| \geq \Omega_j, \\ -i\sqrt{\Omega_j^2 - \tau^2}, & |\tau| < \Omega_j; \end{cases}$$

$$q_j = \begin{cases} \sqrt{\beta_k^2 - \Omega_j^2}, & |\beta_k| \geq \Omega_j, \\ -i\sqrt{\Omega_j^2 - \beta_k^2}, & |\beta_k| < \Omega_j; \end{cases}$$

$$\Omega_2^{(1)} = \omega H / c^{(s)}; \quad \beta_k = k\pi;$$

$c^{(s)}$  – скорость поперечной волны в первой полуполосе. Решение для отраженного поля ( $z > 0$ ) получаем из выражений (2) заменой индекса 1 на 2, сменой знака при ( $z, u_z, D_k$ ) и заменами  $y \rightarrow \alpha y$ ,  $z \rightarrow \alpha z$ . Для второй полуполосы нормированные частоты равны

$$\Omega_1^{(2)} = \frac{\omega h}{c^{(l2)}} = \Omega_1^{(1)} \alpha,$$

$$\Omega_2^{(2)} = \frac{\omega h}{c^{(s2)}} = \Omega_2^{(1)} \alpha,$$

а выражения для  $p_j$ ,  $q_j$  по форме аналогичны выражениям (2). Обозначим их через  $\tilde{p}_j$ ,  $\tilde{q}_j$ .

Представление вектора смещений в прошедшем поле в форме (2) допускает переход к представлению в виде суммы нормальных волн в бесконечной полосе [8]. Аналогично, для отраженного поля вектор смещения, представленный в рамках метода суперпозиции, может быть разложен в ряд

по нормальным волнам. Таким образом, выражения типа (2) в неявном виде содержат два типа движения. Один из них связан с распространяющимися нормальными волнами, уносящими энергию на бесконечность от поверхности контакта. Число этих волн определяется частотой. Другой тип движения характеризуется локализацией возмущения вблизи границы и связан с неоднородными волнами, число которых всегда неограниченно. Значительное возбуждение неоднородных волн в том диапазоне частот, где в и отраженном, и в прошедшем полях существует только одна распространяющаяся волна, приводят к перестройке волнового поля вблизи границы раздела, что является причиной существенных изменений в процессе трансформации энергии падающей волны в энергию отраженных и прошедших волн.

Волновое поле в составном волноводе возбуждается первой нормальной волной, распространяющейся во второй полуполосе в отрицательном направлении оси  $z$ . В этом случае выражения для амплитуды смещения в падающей волне имеют вид [4]:

$$u_z^{(0)} = -i\xi \left( \tilde{p}_1^2 \tilde{p}_2 \frac{\text{ch}(\tilde{p}_2 \alpha y) \tilde{p}_2}{\text{sh} \tilde{p}_2} - \frac{\tilde{p}_2^2 + \xi^2}{2} \tilde{p}_1 \frac{\text{ch}(\tilde{p}_1 \alpha y)}{\text{sh} \tilde{p}_1} \right) e^{-i\xi}, \quad (4)$$

$$u_y^{(0)} = \tilde{p}_1^2 \left( \xi^2 \frac{\text{sh}(\tilde{p}_2 \alpha y)}{\text{sh} \tilde{p}_2} - \frac{\tilde{p}_2^2 + \xi^2}{2} \frac{\text{sh}(\tilde{p}_1 \alpha y)}{\text{sh} \tilde{p}_1} \right) e^{-i\xi}.$$

Здесь  $\xi$  – постоянная распространения первой нормальной волны во второй полуполосе. Постоянная распространения для заданной частоты определяется из дисперсионного уравнения Рэлея – Лэмба:

$$\Delta(\xi) = \xi^2 \tilde{p}_1^2 \tilde{p}_2 \text{cth} \tilde{p}_2 - \frac{(\xi^2 + \tilde{p}_2^2)^2}{4} \tilde{p}_1 \text{cth} \tilde{p}_1 = 0. \quad (5)$$

Представление (3) выбрано таким образом, чтобы условие отсутствия касательных напряжений на поверхностях  $y = \pm 1$ ,  $z \leq 0$  и  $y = \pm \alpha$ ,  $z \geq 0$  выполнялось автоматически. Выполнение условия отсутствия нормальных напряжений на поверхностях  $y = \pm 1$ ,  $y = \pm \alpha$  и условий сопряжения приводит к системе интегро-алгебраических уравнений относительно неизвестных  $C_0^{(i)}$ ,  $C_k^{(i)}$ ,  $D_k^{(i)}$  ( $k = 1, 2, \dots$ ) и  $x^{(i)}(\tau)$ , имеющей следующий вид:

$$\begin{aligned}
 & x^{(1)}(\tau)\Delta(\tau) + C_0^{(1)} \frac{2i\Omega_0^{(1)2}\Omega_1^{(1)}}{\tau^2 - \Omega_1^{(1)2}} - \sum_{k=1}^{\infty} \left( (C_k^{(1)}(\beta_k^2 + \Omega_0^{(1)2}) \frac{2q_1}{\tau^2 + q_1^2} - D_k^{(1)}\beta_k \frac{2q_2^2}{\tau^2 + q_2^2} \right) (-1)^k = 0, \\
 & x^{(2)}(\tau)\Delta^{(2)}(\tau) + C_0^{(2)} \frac{2i\Omega_0^{(2)2}\Omega_1^{(2)}}{\tau^2 - \Omega_1^{(2)2}} - \sum_{k=1}^{\infty} \left( (C_k^{(2)}(\beta_k^2 + \Omega_0^{(2)2}) \frac{2\tilde{q}_1}{\tau^2 + \tilde{q}_1^2} + D_k^{(2)}\beta_k \frac{2\tilde{q}_2^2}{\tau^2 + \tilde{q}_2^2} \right) (-1)^k = 0, \\
 & G_1 \left( C_n^{(1)} q_1 \beta_n - D_n^{(1)} \frac{\beta_n^2 + q_2^2}{2} \right) + G_2 \sum_{k=1}^{\infty} \left( C_k^{(2)} \tilde{q}_1 \beta_k + D_k^{(2)} \frac{\beta_k^2 + \tilde{q}_2^2}{2} \right) \frac{(-1)^k 2\beta_k}{\beta_n^2 - (\beta_k/\alpha)^2} \frac{\sin \alpha \beta_n}{\alpha^2} = \\
 & = G_2 \frac{\xi \tilde{p}_1^2 (\xi^2 + \tilde{p}_2^2)}{\alpha} \left( \frac{\sin \alpha \beta_n}{\alpha} \left( \frac{\tilde{p}_2 \operatorname{cth} \tilde{p}_2}{(\tilde{p}_2/\alpha)^2 + \beta_n^2} - \frac{\tilde{p}_1 \operatorname{cth} \tilde{p}_1}{(\tilde{p}_1/\alpha)^2 + \beta_n^2} \right) - \right. \\
 & \quad \left. - \beta_n \cos \alpha \beta_n \left( \frac{1}{(\tilde{p}_2/\alpha)^2 + \beta_n^2} - \frac{1}{(\tilde{p}_1/\alpha)^2 + \beta_n^2} \right) \right), \\
 & \alpha i C_0^{(1)} \Omega_1^{(1)} + \alpha i C_0^{(2)} \Omega_1^{(2)} - \sum_{k=1}^{\infty} \left( C_k^{(1)} q_1 - D_k \beta_k \right) \frac{\sin \beta_k \alpha}{\beta_k} = -\alpha \xi \Omega_0^{(2)2}, \\
 & (-1)^n \sum_{k=1}^{\infty} \left( C_k^{(1)} q_1 - D_k \beta_k \right) \frac{\sin \beta_k \alpha}{\beta_k} + C_n^{(2)} \tilde{q}_1 + D_n^{(2)} \beta_n = (-1)^n \alpha \xi_0 \tilde{p}_1^2 \left( \frac{2\tilde{p}_2^2}{\tilde{p}_2^2 + \beta_n^2} - \frac{\xi^2 + \tilde{p}_2^2}{\tilde{p}_2^2 + \beta_n^2} \right), \\
 & -\frac{(-1)^n}{\alpha} \left( \sum_{k=1}^{\infty} \left( C_k^{(1)} \beta_k - D_k q_2 \right) \frac{2 \sin \beta_k \alpha}{\beta_k - (\beta_n/\alpha)^2} - \frac{(-1)^n}{2\pi} \int_{-\infty}^{\infty} x^{(1)}(\tau) a_n(\tau) d\tau \right) + \\
 & \quad + \alpha \left( C_n^{(2)} + D_n^{(2)} \frac{\tilde{q}_1}{\beta_n} + \frac{1}{2\pi} \int_{-\infty}^{\infty} x^{(2)}(\tau) \tilde{a}_n(\tau) d\tau \right) = -i(-1)^n \alpha (\tilde{a}_n \xi), \\
 & -G_1 \left( C_0^{(1)} \frac{\Omega_2^{(1)2}}{2} + \frac{\Omega_2^{(1)2}\Omega_0^{(1)2}}{4\pi} \int_{-\infty}^{\infty} x^{(1)}(\tau) d\tau \right) + \\
 & \quad + G_2 \left( C_0^{(2)} \frac{\Omega_2^{(2)2}}{2} + \frac{\Omega_2^{(2)2}\Omega_0^{(2)2}}{4\pi} \int_{-\infty}^{\infty} x^{(2)}(\tau) d\tau \right) = -G_2 i \frac{\Omega_2^{(2)2}\Omega_0^{(2)2}}{2}, \\
 & G_1 \left( C_n^{(1)} \frac{\beta_n^2 + q_2^2}{2} - D_n^{(1)} \beta_n q_2 - \frac{(-1)^n}{2\pi} \int_{-\infty}^{\infty} x^{(1)}(\tau) b_n(\tau) d\tau \right) - \\
 & \quad - G_2 \left( C_0^{(1)} \frac{\Omega_2^{(2)2} \sin \alpha \beta_n}{\alpha \beta_n} + \sum_{k=1}^{\infty} \left( C_k^{(2)} \frac{\beta_k^2 + \tilde{q}_2^2}{2} + D_k^{(2)} \beta_k \tilde{q}_2 \right) \frac{(-1)^k}{\beta_n^2 - (\beta_k/\alpha)^2} \frac{2\beta_n \sin \beta_n \alpha}{\alpha} - \right. \\
 & \quad \left. - \frac{(-1)^n}{2\pi} \int_{-\infty}^{\infty} x^{(2)}(\tau) \tilde{d}_n(\tau) d\tau \right) = -G_2 i \frac{\tilde{d}_n(\xi)}{\alpha}.
 \end{aligned}
 \tag{6}$$

Здесь введены обозначения

$$a_k(\tau) = p_1^2 \left( \frac{2\tau^2}{\beta_k^2 + p_2^2} - \frac{\tau^2 + p_2^2}{\beta_k^2 + p_1^2} \right);$$

$$b_k(\tau) = p_1^2 \left( \frac{2\tau^2 p_2^2}{\tau^2 + q_2^2} - \frac{(\tau^2 + \Omega_0^2)(\tau^2 + p_2^2)}{\tau^2 + q_1^2} \right);$$

$$d_k(\tau) = \frac{p_1^2 \cos \alpha \beta_k}{\alpha} \left( \frac{2\tau^2 p_2^2}{\beta_k^2 + (p_2/\alpha)^2} - \frac{(\tau^2 + \Omega_0^2)(\tau^2 + p_2^2)}{\beta_k^2 + (p_1/\alpha)^2} \right) + \beta_k \sin \alpha \beta_k \left( \frac{2\tau^2 p_1^2 p_2 \operatorname{cth} p_2}{\beta_n^2 + (p_2/\alpha)^2} - \frac{(\tau^2 + \Omega_0^2)(\tau^2 + p_2^2) p_1 \operatorname{cth} p_1}{\beta_k^2 + (p_1/\alpha)^2} \right);$$

$$2\Omega_0^2 = \Omega_2^2 - 2\Omega_1^2.$$

Структура системы (6) аналогична структуре системы интегро-алгебраических уравнений, вытекающих из условий сопряжения на стыке полуполос одинаковой ширины. Отметим, что система (6) является системой второго рода.

В рамках метода суперпозиции характер сингулярности в поле напряжений может быть определен до решения граничной задачи в целом [9]. Поступая аналогично [4], представим нормальное и касательное напряжения в угловой точке  $z=0$ ,  $y=\pm\alpha$  в виде [9]

$$\sigma_z(\pm 1, z) = \frac{\sigma_+}{(1-y^2)^{1-\epsilon}} + \psi(y),$$

$$\tau_{zy}(\pm 1, z) = \frac{\tau_+}{y(1-y^2)^{1-\epsilon}} + \psi_1(y).$$

Здесь  $\psi(y)$ ,  $\psi_1(y)$  – некоторые гладкие функции;  $\sigma_{(+)}$ ,  $\tau_{(+)}$  – неизвестные амплитуды напряжений. Показатель особенности  $1-\epsilon$  в выражении (7) находим из уравнения

$$A\beta^2 + 2B\beta\lambda + C\lambda^2 + 2D\beta + 2E\lambda + F = 0, \quad (8)$$

где

$$A = 4 \sin^2 \epsilon \pi^2 (\sin^2 \epsilon \pi / 2 - \epsilon^2);$$

$$B = -D = 2\epsilon^2 \sin^2 \epsilon \pi;$$

$$C = (\sin^2 \epsilon \pi / 2 - \epsilon^2);$$

$$E = (2\epsilon^2 - 1) \sin^2 \epsilon \pi + \sin^2 \epsilon \pi / 2 - \epsilon^2;$$

$$F = \sin^2 \epsilon 3\pi / 2 - \epsilon^2.$$

Кроме того, в уравнении (8)

$$\lambda = \frac{G_2/G_1(1-\nu_1) - (1-\nu_2)}{G_2/G_1(1-\nu_1) + (1-\nu_2)};$$

$$\beta = \frac{1}{2} \frac{G_2/G_1(1-2\nu_1) - (1-2\nu_2)}{(G_2/G_1(1-\nu_1) + (1-\nu_2))}.$$

Для  $\alpha < 1$  показатель особенности не зависит от величины  $\alpha$ .

Существование в угловой точке особенности по напряжениям [9] приводит к тому, что в рамках метода суперпозиции интегралы и ряды для напряжений на линии контакта сходятся медленно. В данной работе рассматриваются интегральные (энергетические) характеристики отраженного и прошедшего полей. Учет особенности по напряжениям практически не влияет на величины этих характеристик. Это обусловлено тем, что амплитуды распространяющихся мод определяются, в основном, первыми неизвестными системы (6), как и для составного волновода одинаковой ширины [4]. Поэтому анализ трансформации энергии падающей волны в отраженные и прошедшие распространяющиеся волны может быть проведен при простой редукции системы (6). Анализ особенностей ближнего волнового поля должен быть проведен с учетом особенности по напряжениям в угловой точке  $z=0$ ,  $y=\pm\alpha$  и может быть выполнен аналогично [4].

### 3. АНАЛИЗ РЕЗУЛЬТАТОВ РАСЧЕТА

Количественный анализ выполнен с целью изучения трансформации энергии падающей волны в отраженные и прошедшие волны. Рассматривался частотный диапазон вплоть до частоты первого толщинно-сдвигового резонанса в отраженном или прошедшем полях, т.е. до частоты  $\Omega_2^{(i)} \leq \pi$ , ( $i=1, 2$ ). Механические характеристики состыкованных полуполос подбирались таким образом, чтобы при  $h=H$  в отраженном поле бегущие волны более высоких порядков появлялись раньше, чем в прошедшем. При уменьшении  $h$  рассмотрены случаи, когда в отраженном и прошедшем полях распространяющиеся волны появляются одновременно, либо когда в прошедшем поле распространяющиеся волны появляются раньше, чем в отраженном. Расчеты выполнялись при следующих значениях параметров сред:  $\mu_2/\mu_1=6.5$ ,  $\rho_2/\rho_1=8.5$ ,  $\nu_2=0.29$ ,  $\nu_1=0.3$ . В этом случае для показателя особенности поля напряжений в угловой точке справедливо  $1-\epsilon=0.34$ . Следует отметить, что показатель особенности в угловой точке

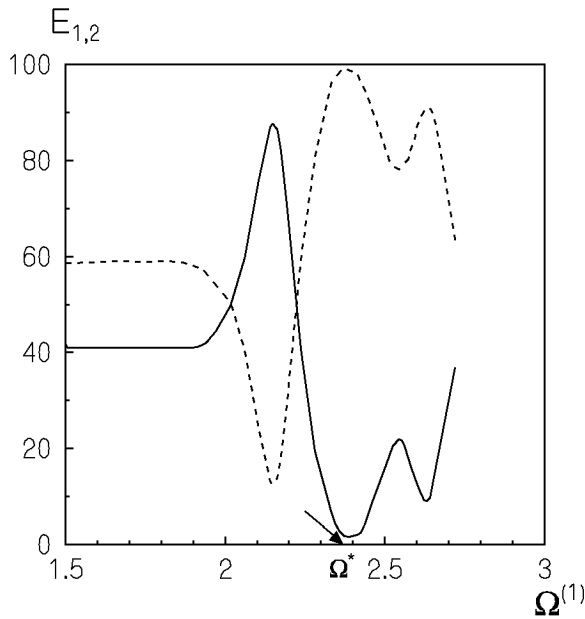


Рис. 2. Зависимость энергии от частоты при  $h=H$ :  
 сплошная – прошедшее поле,  
 штриховая – отраженное поле

для волновода, образованного из полуполос с теми же механическими характеристиками, но одинаковой ширины, равен  $1-\epsilon=0.16$ .

При выполнении расчетов в суммах системы (6) учитывалось до 15 неизвестных. При этом наблюдалась устойчивость решения, которая выражалась в том, что при увеличении числа членов ряда в суммах системы (6) от 10 до 15 значения первых неизвестных  $C_k^{(1,2)}$ ,  $D_k^{(1,2)}$  ( $k=1, 5$ ) изменялись незначительно. При этом погрешность выполнения закона сохранения энергии не превышала 3%. Энергия отраженного поля определялась соотношением

$$W = \sum_{j=1}^J W_j, \tag{10}$$

$$W_j = |K_j|^2 G_2 \omega \tilde{p}_1^2(\xi_j) \Omega_2^{(2)2} \Delta^{(2)'}(\xi_j).$$

Здесь  $J$  – число распространяющихся волн;  $K_j$  коэффициент возбуждения  $j$ -ой нормальной волны. Коэффициенты  $K_j$  для  $j$ -ой нормальной волны в отраженном поле находились из соотношения

$$K_j^{(np)} = \text{Res}_{\tau=\xi_j} x^{(2)}(\tau), \tag{11}$$

где  $\text{Res}$  обозначают вычеты функции  $x^{(2)}(\tau)$  при  $\tau=\xi_j$ . Здесь  $\xi_j$  – корни дисперсионного уравнения Рэлея–Лэмба (5). Энергия прошедшего поля находится аналогично при соответствующих заменах.

На рис. 2 представлено распределение энергии падающей волны в отраженном и прошедшем полях в зависимости от частоты  $\Omega_2^{(1)} = \omega H/c_2^{(1)}$  при равенстве ширины правой и левой полуполос  $h=H$ . Сплошная кривая соответствует энергии прошедшего поля, а штриховая – отраженного. Точками на оси  $E$  обозначены (в процентном отношении) энергии отраженного и прошедшего полей, найденные по одномерному приближению. Через  $\Omega^*$  обозначена частота, на которой в отраженном поле появляются распространяющиеся волны высших порядков. В рассматриваемом диапазоне частот в прошедшем поле распространяющиеся волны высших порядков еще не появились. Для частот вплоть до  $\Omega_2^{(1)} < 1.9$  распределение энергии падающей волны между отраженной и прошедшей волнами практически постоянно и достаточно хорошо описывается в рамках стержневой модели. В этом частотном диапазоне энергия отраженного и прошедшего полей определяется только соотношением приведенных импедансов контактирующих сред  $\rho_i c_i S_i$ . Хотя при  $\Omega_2^{(1)} = 1.9$  распределение по толщине напряжения в падающей волне уже далеко от равномерного. На частоте  $\Omega_2^{(1)} = 1.9$  неравномерность в распределении напряжений характеризуется отношением  $\sigma_{zz}(\pm 1, z)/\sigma_{zz}(0, z) \simeq 2$ .

Для частот выше  $\Omega_2^{(1)} > 1.9$  ситуация резко меняется, хотя в отраженном и прошедшем полях по-прежнему существует только по одной распространяющейся волне. Энергия прошедшего поля начинает увеличиваться и на частоте  $\Omega_2^{(1)} = 2.15$  наблюдается максимум прохождения. При дальнейшем росте частоты энергия прошедшего поля уменьшается и на частоте  $\Omega^*$ , когда в отраженном поле появляются распространяющиеся волны высших порядков, наблюдается максимум отражения. Именно эффект резкого падения прозрачности границы раздела в волноводе обуславливает возникновение так называемого захвата энергии в неоднородных колебательных системах. За счет этого эффекта обеспечивается локализация области интенсивных колебаний в упругом теле даже при сравнительно небольших различиях механических характеристик импедансов отдельных его частей. Тогда в частотном диапазоне, в котором энергия во вторую среду практически не проходит, наблюдается захват энергии. Это явление связано с перераспределением энергии падающей волны между одной прошедшей и несколькими отраженными распространяющимися волнами. При этом в отраженном поле наиболее энергоемкой оказывается "обратная" волна.

В [4] проанализированы эффекты, наблюдаемые в области увеличения прозрачности границы (увеличение амплитуд неоднородных волн, рост рассогласованности формы распространяющихся волн в отраженном и прошедшем полях). В данной работе рассматривается влияние изменения ширины одной из полуполос на энергетические характеристики отраженного и прошедшего полей.

При изменении  $h$  изменяются дисперсионные характеристики распространяющихся волн в отраженном поле. На рис. 3 представлено распределение энергии падающей волны в отраженном и прошедшем полях при  $\alpha = 0.9$ . В этом случае рассогласованность отраженного и прошедшего полей обусловлена не только различием в дисперсионных характеристиках, но и геометрией. На частоте  $\Omega^*$  распространяющиеся волны высших порядков появляются в отраженном, а на частоте  $\tilde{\Omega}^*$  – в прошедшем поле.

Как и в предыдущем случае, в низкочастотном пределе энергия отраженного и прошедшего полей хорошо описывается в рамках одномерного приближения. В отличие от случая  $h = H$  (см. рис. 2) при уменьшении  $h$  в области относительно низких частот ( $\Omega_2^{(2)} \leq 1.9$ ) стержневая модель дает ощутимую погрешность. С ростом частоты энергия отраженного поля увеличивается, хотя и незначительно, даже в области очень низких частот. Это приводит к тому, что даже в низкочастотном диапазоне энергия отраженного поля отличается от величины, найденной в одномерном приближении. Так, на частоте  $\Omega_2^{(2)} = 1.9$  ( $\Omega_2^{(1)} = 1.85$ ) энергия отраженного поля отличается от величины, найденной в одномерном приближении, на 4%, в то время как при  $h = H$  это отличие составляет только 0.5%.

С ростом частоты как для  $\alpha = 1$ , так и для  $\alpha = 0.9$  наблюдается явление увеличения прозрачности границы. При этом эффективность его проявления и ширина частотного диапазона, в котором оно наблюдается, для обоих случаев практически не отличаются. Изменение ширины полуполосы, в которой распространяется падающая волна, на 10% сказывается на трансформации энергии падающей волны в отраженные и прошедшие волны в более высокочастотном диапазоне, когда появляются распространяющиеся волны высших порядков. В обоих случаях распространяющиеся волны высших порядков в отраженном поле появляются раньше, чем в прошедшем. На рис. 2 и 3 максимумы отражения наблюдаются на тех частотах, когда в отраженном поле появились распространяющиеся волны высших порядков, одна-

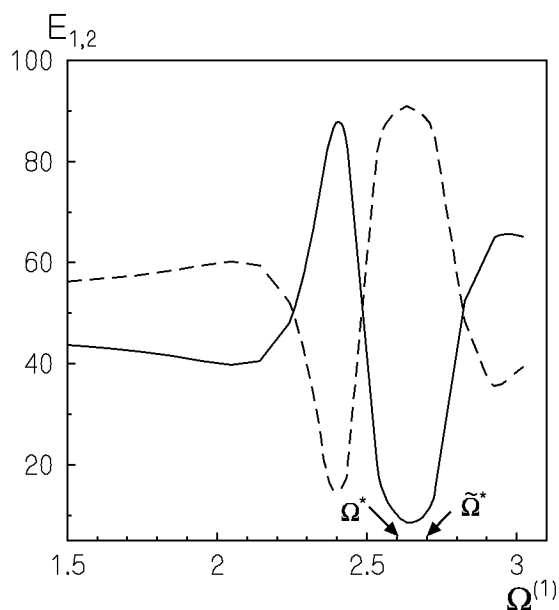


Рис. 3. Зависимость энергии от частоты при  $h = 0.9H$ :

сплошная – прошедшее поле,  
штриховая – отраженное поле

ко эффективность отражения отличается на 8%. При дальнейшем росте частоты характер частотной зависимости энергии отраженного поля существенно изменяется, что обусловлено значительными различиями в дисперсионных характеристиках отраженного и прошедшего поля в рассматриваемых случаях. Таким образом, если в отраженном поле распространяющиеся волны высших порядков появляются раньше, чем в прошедшем, то уменьшение ширины полуполосы, в которой распространяется падающая волна, приводит к уменьшению эффективности отражения в диапазоне частот, где появляются распространяющиеся волны высших порядков. Геометрическая рассогласованность приводит к уменьшению эффективности захвата энергии при сохранении механических характеристик контактирующих полуполос.

При  $\alpha = 0.87$  в отраженном и прошедшем полях распространяющиеся волны высших порядков появляются одновременно, так что в этом случае есть только геометрическая рассогласованность отраженного и прошедшего полей. Частотная зависимость энергии отраженного и прошедшего полей близка к представленной на рис. 3, т. е. эффект увеличения прозрачности границы в области частот, где существует только одна распространяющаяся волна, выражен достаточно сильно. В той области частот, где появляются распространяю-



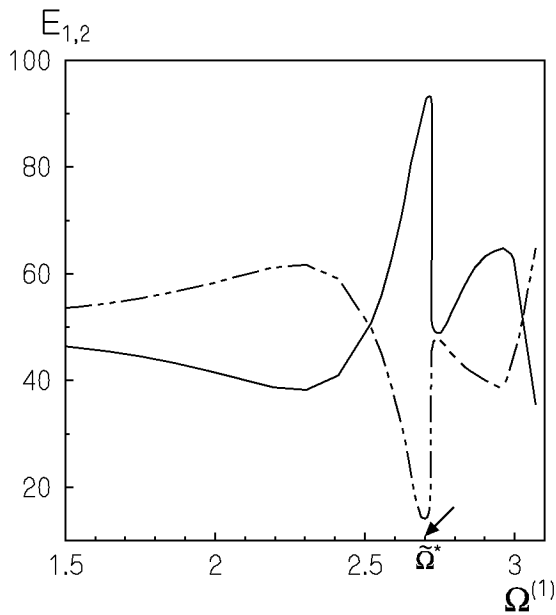


Рис. 4. Зависимость энергии от частоты при  $h=0.8H$ :  
сплошная – прошедшее поле,  
штриховая – отраженное поле

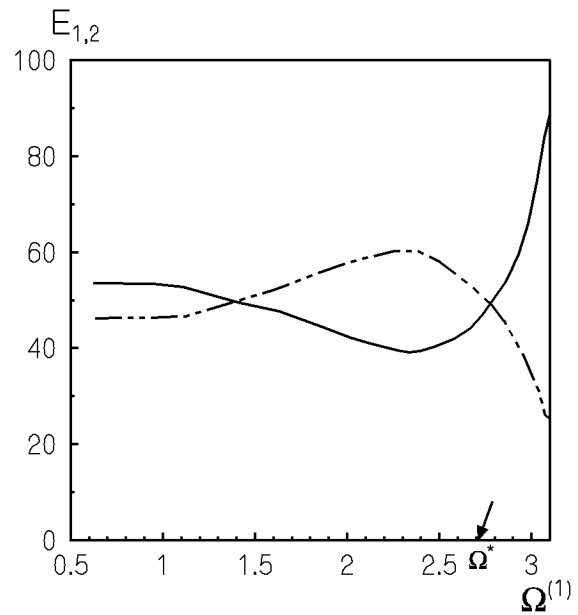


Рис. 5. Зависимость энергии от частоты при  $h=0.7H$ :  
сплошная – прошедшее поле,  
штриховая – отраженное поле

щиеся волны высших порядков, наблюдается резкое увеличение эффективности отражения.

При дальнейшем уменьшении  $\alpha$  распространяющиеся волны в прошедшем поле появляются раньше, чем в отраженном. На рис. 4 представлено распределение энергии падающей волны в отраженном и прошедшем полях при  $\alpha=0.8$ . Через  $\tilde{\Omega}^*$  обозначена частота, на которой появляются распространяющиеся волны высших порядков в прошедшем поле. При  $\alpha=0.8$  в низкочастотном пределе энергия отраженного поля остается больше, чем энергия прошедшего. Явление увеличения энергии отраженного поля с ростом частоты в области низких частот, которое не наблюдалось в волноводе, образованном полуполосами одинаковой ширины (см. рис. 2), выражено более ярко и смещено в более низкочастотную область. Явление увеличения прозрачности границы (увеличение эффективности прохождения) в области существования только одной распространяющейся волны в отраженном и прошедшем полях так же еще имеет место, однако частотный диапазон его проявления значительно сужается. Увеличения эффективности отражения в области существования распространяющихся прошедших волн высшего порядка не наблюдается. Таким образом, при значительной геометрической рассогласованности полуполос захват энергии не проявляется.

В низкочастотном пределе энергия падающей волны делится между отраженной и прошедшей волнами поровну при  $\alpha=0.785$ . При дальнейшем уменьшении  $\alpha$  в низкочастотном пределе энергия отраженного поля меньше, чем энергия прошедшего. На рис. 5 представлено распределение энергии падающей волны в отраженном и прошедшем полях при  $\alpha=0.7$ . С ростом частоты энергия отраженного поля незначительно растет и это приводит к тому, что уже на частоте  $\Omega_2^{(2)}=1.15$  ( $\Omega_2^{(1)}=1.44$ ) наблюдаются качественные изменения в распределении энергии падающей волны между отраженными и прошедшими волнами. Энергия в отраженном и прошедшем полях приблизительно одинакова. В области существования только одной распространяющейся волны в отраженном и прошедшем полях увеличения эффективности прохождения не наблюдалось.

При дальнейшем уменьшении  $\alpha$  характер частотной зависимости энергии отраженного и прошедшего полей в диапазоне частот, где существует только одна распространяющаяся волна, сохраняется, т.е. с ростом частоты увеличивается энергия отраженного поля, а резкого увеличения эффективности прохождения не наблюдается.

Явление резкого увеличения эффективности прохождения в области частот, когда в отраженном и прошедшем полях существует только од-

на распространяющаяся волна, связано с интенсивным возбуждением неоднородных волн в отраженном и прошедшем полях. На рис. 6 представлены частотные зависимости амплитуд первой неоднородной волны, нормированных на амплитуду падающей волны, для прошедшего и отраженного полей – сплошная и штриховая кривые соответственно. Рис. 6, а соответствует  $\alpha=0.9$ , рис. 6, б –  $\alpha=0.8$  и рис. 6, в –  $\alpha=0.7$ . Из этих рисунков видно, что с уменьшением  $\alpha$  амплитуда первой неоднородной волны в прошедшем поле падает. При  $\alpha=0.7$  амплитуды неоднородных волн как в прошедшем, так и в отраженном полях не превышают амплитуды падающей волны. Для этого значения  $\alpha$  резкого увеличения эффективности прохождения не наблюдается (см. рис. 5). При  $\alpha=0.8$  амплитуды неоднородных волн как в прошедшем, так и в отраженном полях превышают амплитуду падающей волны и частотный диапазон эффективного возбуждения неоднородных волн в отраженном и прошедшем полях уже, чем для  $\alpha=0.9$ . Как уже отмечалось, частотный диапазон эффективного прохождения энергии для  $\alpha=0.8$  также уже, чем для  $\alpha=0.9$  (сравни рис. 6, а и рис. 6, б). Следует отметить, что область значительного возбуждения неоднородных волн в отраженном и прошедшем полях незначительно смещена относительно диапазона эффективного прохождения энергии во вторую среду. Однако увеличение эффективности прохождения связано именно с возбуждением неоднородных волн как в прошедшем, так и в отраженном полях.

Как и при анализе волновых полей в волноводе, образованном жестким контактом полуполос одинаковой ширины [4], значительное возбуждение неоднородных волн связано с рассогласованием типов движений в отраженном и прошедшем полях. В рассматриваемом случае, кроме физической, существует также геометрическая рассогласованность полей. При этом увеличение геометрической рассогласованности (уменьшение  $\alpha$ ) “подавляет” увеличение эффективности прохождения и эффект увеличения эффективности отражения в более высокочастотной области.

Распределения по толщине полуполосы нормальных и касательных напряжений, создаваемых распространяющейся нормальной волной как в правой, так и в левой полуполосе, существенно зависят от частоты. Поэтому соотношение между нормальными и касательными напряжениями удобно оценить через соответствующие составляющие среднего за период потока мощности, которые связаны с данными типами напряжений. На рис. 7 приведены частотные зависимости со-

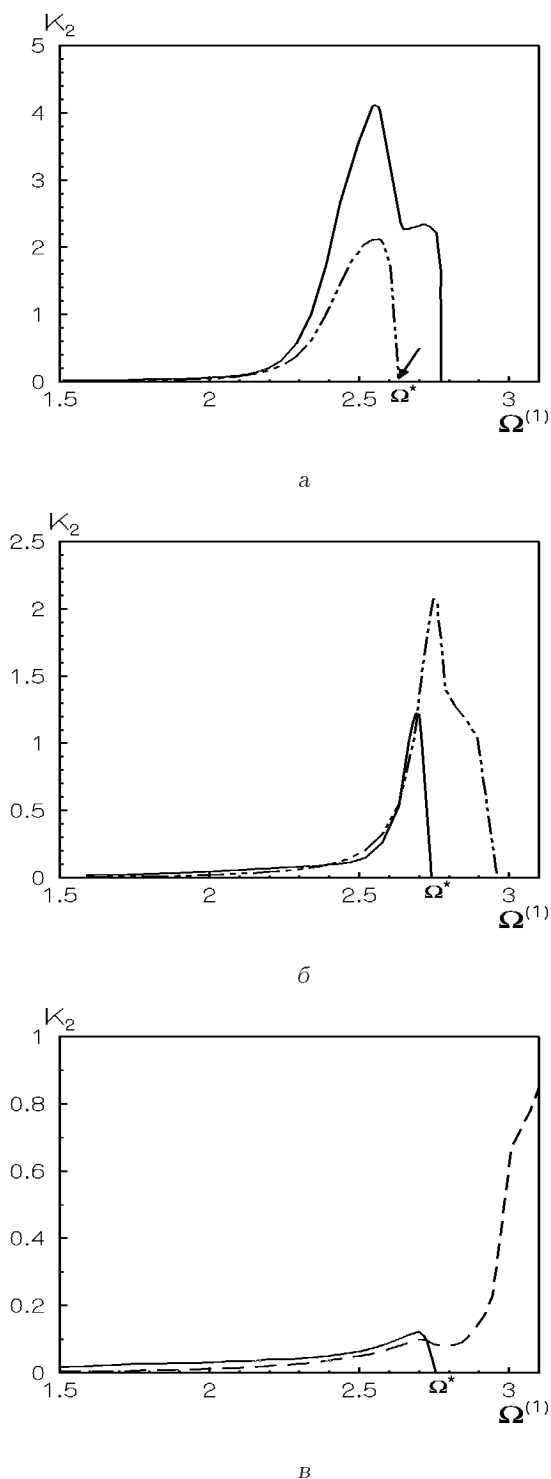


Рис. 6. Частотная зависимость модуля амплитуды первой неоднородной волны, нормированной на амплитуду падающей:

$K_p$  – прошедшие волны,  $K_o$  – отраженные волны;  
 сплошная – распространяющиеся волны,  
 штриховая – неоднородные волны;  
 а –  $h=0.9H$ , б –  $h=0.8H$ , в –  $h=0.7H$

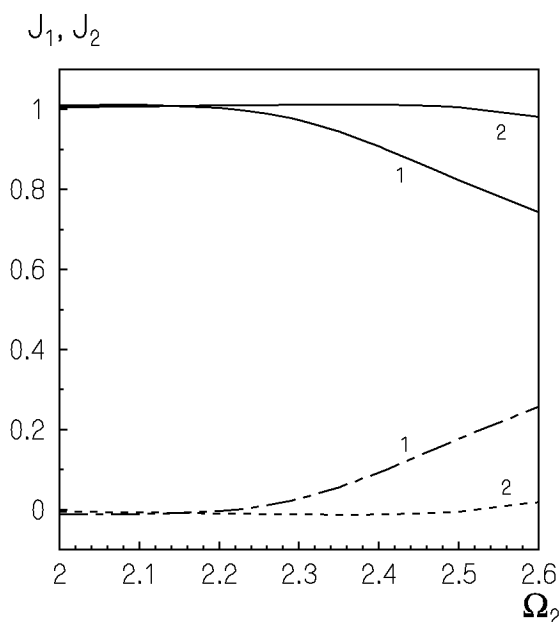


Рис. 7. Частотные зависимости составляющих энергии, характеризующие нормальные и сдвиговые компоненты движения:

сплошная – нормальная компонента,  
штриховая – сдвиговая компонента

ставляющих энергии, связанных с нормальными и сдвиговыми компонентами напряжений

$$J_1^{(i)} = \frac{\int_{-1}^1 \sigma_z^{(i)}(\xi_1, y) u_z^{(i)}(\xi_1, y) dy}{W_0},$$

$$J_2^{(i)} = \frac{\int_{-1}^1 \tau_{yz}^{(i)}(\xi_1, y) u_y^{(i)}(\xi_1, y) dy}{W_0},$$

нормированные на энергию падающей волны при  $H=h$ . Сплошная кривая соответствует  $J_1^{(i)}$ , штриховая –  $J_2^{(i)}$ , кривые 1 – отраженному полю, кривые 2 – прошедшему. Из рисунка следует, что с ростом частоты продольный тип движения трансформируется в сдвиговый.

Изменение характера движения по ширине волновода с ростом частоты носит еще более сложный характер. На рис. 8 показаны распределения  $\sigma_z^{(i)}(\xi_1, y) u_z^{(i)}(\xi_1, y)/W_0$  и  $\tau_{yz}^{(i)}(\xi_1, y) u_y^{(i)}(\xi_1, y)/W_0$  в зависимости от ширины для различных частот. С ростом частоты распределение продольной компоненты движения (см. рис. 8, а) существенно изменяется. При этом на частоте  $\Omega_2^{(2)} = 2.3$  на определенном интервале толщин  $y$  появляются отрицательные значения  $\sigma_z^{(i)}(\xi_1, y) u_z^{(i)}(\xi_1, y)/W_0$  (кривая 4). При дальнейшем росте частоты ин-

тервал толщин с отрицательными значениями  $\sigma_z^{(i)}(\xi_1, y) u_z^{(i)}(\xi_1, y)/W_0$  перемещается к срединной плоскости пластины.

Для сдвиговой компоненты движения частота  $\Omega_2^{(2)} = 2.3$  также является особой. По всей ширине пластины  $\tau_{yz}^{(i)}(\xi_1, y) u_y^{(i)}(\xi_1, y)/W_0$  меняет знак и резко увеличивается с ростом частоты.

Таким образом, особенности процесса отражения – прохождения волн на вертикальной границе раздела ступенчатого волновода в области существования только по одной распространяющейся волне в отраженном и прошедшем полях обусловлены значительным возбуждением неоднородных волн как в отраженном, так и в прошедшем полях. В свою очередь, возбуждение неоднородных волн обусловлено изменением характера движения на границе раздела, т.е. переходом от чисто продольных движений к продольно-сдвиговым. Для  $\alpha < 0.8$  в отраженном поле движения практически продольные, сдвиговая компонента очень мала, неоднородные волны возбуждаются слабо (см. рис. 8, а) и явления резкого увеличения эффективности прохождения не наблюдается.

## ЗАКЛЮЧЕНИЕ

Рассмотрены частотные зависимости энергии отраженного и прошедшего полей в волноводе, образованном жестким контактом двух полуполос с различными механическими характеристиками и различной ширины. Установлено, что в области частот, когда в отраженном и прошедшем полях существует только по одной распространяющейся волне, наблюдается увеличение прозрачности границы раздела. Этот эффект обусловлен значительным возбуждением неоднородных волн как в отраженном, так и в прошедшем полях. В более высокочастотной области, где появляются распространяющиеся волны высших порядков частот, наблюдается эффект увеличения отражающих свойств границы.

Оба эффекта сохраняются только до определенных соотношений между шириной контактирующих полуполос ( $\alpha \leq 0.7$ ). При дальнейшем уменьшении ширины полуполосы, в которой распространяется падающая волна, ни увеличения эффективности прохождения, ни увеличения эффективности отражения не наблюдалось. Это обусловлено тем, что при уменьшении ширины второй полуполосы в отраженном поле движения являются практически продольными и эффективно возбуждать неоднородные волны не удастся. Таким образом, значительная геометрическая рассогласован-

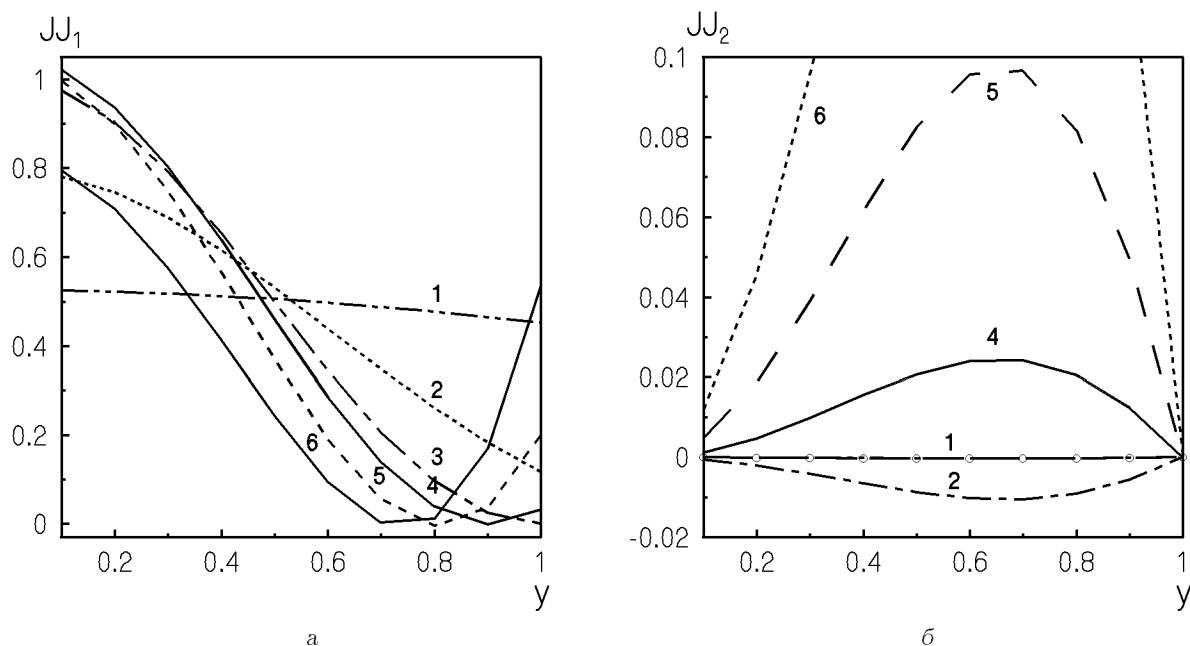


Рис. 8. Распределение по толщине волновода составляющих потока мощности, связанных с нормальными и сдвиговыми компонентами движения:  
 а – для нормальной компоненты движения, б – для сдвиговой компоненты движения

ность полуполос приводит к качественным изменениям в процессе передачи энергии в той области частот, где существует только одна распространяющаяся волна.

В более высокочастотной области, когда появляются распространяющиеся волны высших порядков, значительная геометрическая рассогласованность полуполос приводит к исчезновению явления захвата энергии.

При уменьшении ширины первой (левой) полуполосы (прошедшее поле), очевидно, возможно значительно возбудить неоднородные волны при значительной геометрической рассогласованности. Таким образом, процесс трансформации энергии падающей волны в отраженные и прошедшие волны будет более сложным. Этот вопрос требует дальнейшего исследования.

1. Shockley W., Curran D. R., Koneval D. J. Trapped energy modes in quartz filter crystals // J. Acoust. Soc. Amer. – 1967. – 41, N 4. – С. 981–993.
2. Гетман И. П., Лисицкий О. Н. Отражение и прохождение звуковых волн через границу раздела двух состыкованных упругих полуполос // ПММ. – 1988. – 52, N 6. – С. 1044–1048.

3. Гринченко В. Т., Городецкая Н. С. Отражение волн Лэмба о границы раздела в составном волноводе // Прик. мех. – 1985. – 21, N 5. – С. 121–125.
4. Городецкая Н. С. Дифракция волн Рэля-Лэмба на вертикальной границе в составном упругом волноводе // Акуст. вісн. – 2000. – 3, N 1. – С. 1–13.
5. Глушков Е. В., Глушкова Н. В., Лапина О. Н. Дифракция нормальных мод в составных и ступенчатых упругих волноводах // ПММ. – 1998. – 62, N 2. – С. 297–303.
6. Гомилко А. М., Гринченко В. Т., Мелешко В. В. О возможности метода однородных решений в смешанной задаче теории упругости для полуполосы // Теор. и прикл. мех. – 1987. – Вып. 18. – С. 3–8.
7. Гринченко В. Т., Мелешко В. В. Гармонические колебания и волны в упругих телах. – К.: Наук. думка, 1981. – 284 с.
8. Гомилко А. М., Мелешко В. В. Гармонические волны в полубесконечном упругом слое // Докл. АН УССР. Сер. А. – 1985. – N 2. – С. 28–32.
9. Боджи Д. Действие поверхностных нагрузок на систему из двух соединенных вдоль одной из граней упругих клиньев, изготовленных из различных материалов и имеющих произвольные углы // Прикладная механика. Тр. Амер. общ. инженеров-механиков. – 1971. – 38, N 2. – С. 87–96.
10. Glushkov E. V., Glushkova N. V. Blocking property of energy vortices in elastic waveguides // J. Acoust. Soc. Amer. – 1997. – 102, N 3. – С. 1356–1360.